

九州大学 正員 德光 善治

〃 学生員 松下 博通

〃 〃 山本 正治

## 1. まえがき

繰返し荷重を受けたコンクリートの性質は、初載荷時のそれと異なる。この研究に関しては、大きく2つに分けられ、その1つは繰返し荷重による耐久限度を求めるもの、他の1つは応力-ひずみ曲線の変遷に関するものである。筆者らはこれらの一連の研究の一部を実験したのでここに報告する。

## 2. 実験方法および結果

実験1.  $\phi 7.5 \times 15\text{cm}$  普通コンクリート供試体( $\sigma_0 = 301\text{kg/cm}^2$ )に最小応力  $\sigma_2 = 9\text{kg/cm}^2$  ( $\sigma_0/6 = 3\%$ )を一定として最大応力  $\sigma_1$  を表-1のようにA～Fの6段階にとり、正弦変化応力を加える。そして破壊までの繰返し数  $N$  とから  $\sigma_1 - N$  曲線を求めようとしたものである。応力速度は300r.p.m.である。供試体の疲労破壊時の荷重繰返し数を表-1、図-2に示す。

表-1

	A	B	C	D	E	F
最小応力 (%)	$9\text{kg/cm}^2$ (3)					
最大応力 (%)	222 (%) (73.8)	208 (%) (69.2)	191 (%) (63.7)	175 (%) (58.4)	159 (%) (52.7)	143 (%) (47.4)
石炭 土壤	$2.8 \times 10^6$	$1.22 \times 10^6$	$7.37 \times 10^5$	$5.18 \times 10^5$	$4.2 \times 10^5$	$2 \times 10^5$
回 数 (N)	$9.9 \times 10^6$	$2.46 \times 10^6$	$6.91 \times 10^6$	$1.08 \times 10^7$	破壊 なし	破壊 なし
相乗平均 (%)	$3.42 \times 10^6$	$1.3 \times 10^6$	$7.51 \times 10^5$	$4.64 \times 10^5$	$2 \times 10^5$	$2 \times 10^5$

( )内は  $\sigma_2$  に対する百分率

実験2.  $\phi 7.5 \times 15\text{cm}$  普通コンクリート供試体4本について、 $\sigma_2 = 15\text{kg/cm}^2$  ( $\sigma_0/6 = 4\%$ )とし、 $\sigma_1$  は供試体No.1とNo.2で222% ( $\sigma_0/6 = 61\%$ )、No.2は208% ( $\sigma_0/6 = 57\%$ )、No.4は179% ( $\sigma_0/6 = 49\%$ )の正弦変化応力を加えた。No.1, No.4は、応力-ひずみ曲線の変化と残留ひずみを測定し、静弾性係数 ( $E_S$ ) を求めた。応力-ひずみ曲線を図-3、4に、繰返し回数  $N$  における弾性係数 ( $E_N$ ) と  $N = 1$  における  $E_1$  との比 (弾性係数:  $E_N/E_1$ ) の変化を図-5に示す。No.2は動弾性係数 ( $E_D$ ) を測定した。No.3は  $E_D$  と  $E_S$  を測定し、その変化を図-6に示す。

## 3. 考察

1)  $N = 2 \times 10^6$  における耐久線図は O.Graf や小西氏によると求められてゐるが、本実験における  $\sigma_2/\sigma_0 = 3\%$  における応力レベルを図-1に示した。これより、Graf の  $2 \times 10^6$  回耐久限度が過大評価であると推定される。

これより、逆に小西氏の場合には、最小  $\log \sigma_{min}$  応力の小さな部分では過小評価されといふものと推定される。

2)  $\sigma_1 - N$  曲線の形状は、 $\sigma_2 = \text{const}$  にした場合、 $\sigma_1 = a + b \log N$  あるいは  $\sigma_1 = AN^m$  の式でみらかであるといわれてゐるが、本実験の結果では  $\log \sigma_1/\sigma_0 = 0.83 - 0.28 \log N$

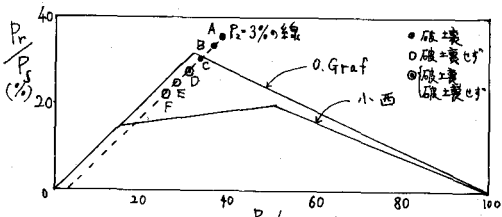
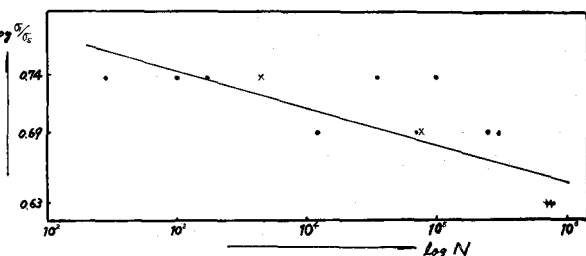


図-1 耐久限度線図

図-2.  $\log \sigma_1/\sigma_0 - \log N$

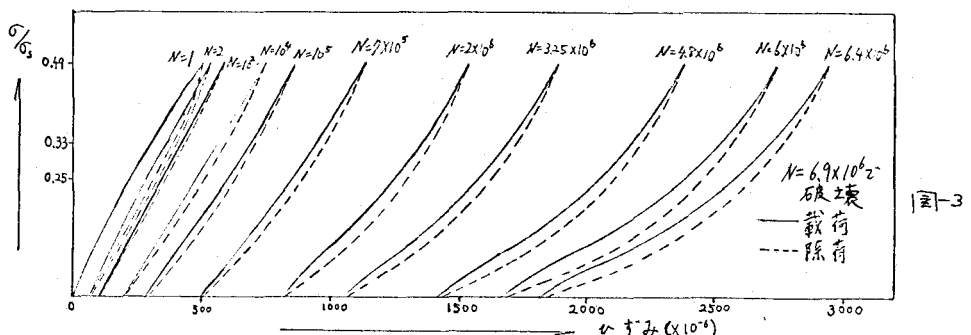


図-3

$\log(\sigma/\sigma_s) = -0.077 - 0.017 \log N$  で示される。しかしながら、実験数が少く確言できない。ただ、いすゞの場合にしても、実験結果が上に凸の傾向を示しているようである。

3) 应力-ひずみ曲線の変化は、荷重の大きさと繰返し回数によって影響を受けていくようだ。 $N=9.8 \times 10^4$  で破壊した場合には ( $\sigma/\sigma_s = 61\%$ )、 $N=10^2$  程度までで次第に載荷時の応力-ひずみ曲線は一直線となり、以後は逆に下に凸の傾向となり、ヒステリシスが増大して破壊に至る。図-3に示す  $N=6.9 \times 10^6$  で破壊した場合には ( $\sigma/\sigma_s = 49\%$ )、 $N=10^4$  までは次第に直線性を示し、以後  $N=2 \times 10^6$  までは次第に下に凸の傾向がみられ、ヒステリシスも増加していくが、これより程度は小さい。しかし  $2 \times 10^6$  以後は下に凸の傾向もヒステリシスの増加の程度もかなり急激なものとなり、破壊に至る。また、これらとともに弾性係数の低下も著しいものとなる。

4) 図-5, 6 に示したように、 $E_N/E_1$  の形状は最大荷重時ににおける  $E_S$ 、最大荷重の 33% より 25% における  $E_S$  はいずれも繰返し回数に対して近似しており、この傾向は No.2  $E_N$  でも同様であった。繰返し回数の対数-log N に対する  $E_N/E_1$  の変化は、ほぼ 2 直線で示されるようであるが、これは、一般にいわれているように疲労現象が繰返し回数の対数に対して一概的に変化するという考え方と一致しない。折衷はコンクリートの疲労現象が漸微に変化する点から之には疲劳によりコンクリートの性質が大きく変化する点として重要な意味を持つものと考える。したがって、折衷以下の荷重線返しに対する、コンクリート自身、ほとんど疲労による強度低下もみられないであろうとも推測される。本実験に際し、九州大学工学部実験室の方々に御援助顶きましたに深謝します。

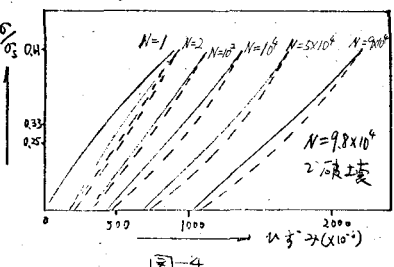
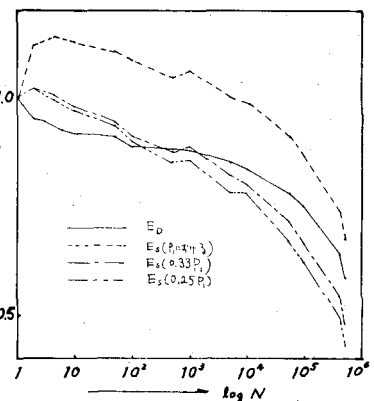
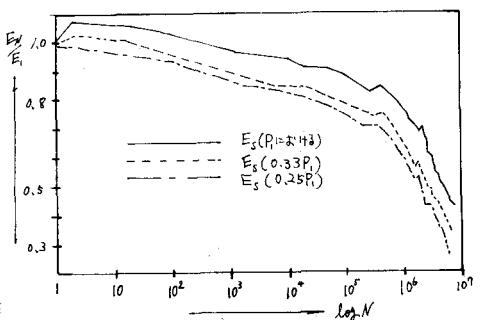


図-4

図-5  $E_N/E_1$  の変化図-6  $E_S$  の変化